

This airborne geophysical survey and its products were funded by the Geo-Mapping for Energy and Minerals (GEM) Program of the Energy and Natural Resources Canada.

Ce levé géophysique aéroporté et la production de cette carte ont été financés par le programme Géocartographie de l'Énergie et des Minéraux (GEM) du Secrétariat des sciences de la Terre, Ressources naturelles Canada.

GSC OPEN FILE 6066 / DOSSIER PUBLIC 6066 DE LA CGC
MGS OPEN FILE OF2009-2 / OPEN FILE OF2009-2 DES LGM

GEOPHYSICAL SERIES / SÉRIE DES CARTES GÉOPHYSIQUES

NTS 64 P02 / SNRC 64 P02

AIRBORNE GEOPHYSICAL SURVEY OF THE GREAT ISLAND AND SEAL RIVER AREA, MANITOBA
LEVÉ GÉOPHYSIQUE AÉROPORTÉ DE LA RÉGION DE GREAT ISLAND ET SEAL RIVER, MANITOBA



GEM

Natural Resources Canada
Ressources naturelles Canada

Authors : Fortin, R., Coyle, M., Carson, J.M., and Kiss, F.

Data acquisition, compilation and map production by
Sander Geophysics Limited, Ottawa, Ontario.
Contract and map management by
the Geological Survey of Canada, Ottawa, Ontario.



Canada

RESIDUAL TOTAL MAGNETIC FIELD COMPOSANTE RÉSIDUELLE DU CHAMP MAGNÉTIQUE TOTAL

Scale 1 : 50 000 - Échelle 1 / 50 000

km 1 0 2 4

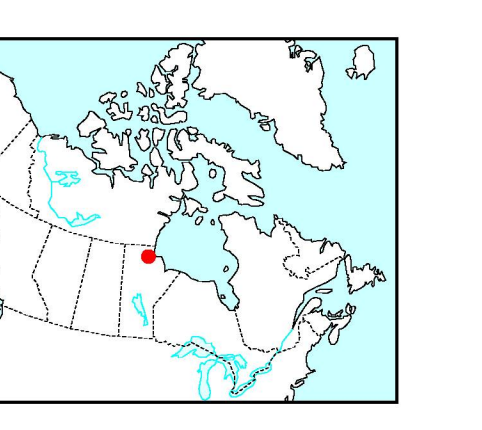
NAD83/UTM zone 14N

Universal Transverse Mercator Projection
Northing and Easting in metres
Système de référence géodésique nord-américain, 1983

© Her Majesty the Queen in Right of Canada 2009
Digital Topographic Data provided by Geomatics Canada, Natural Resources Canada

Auteurs : Fortin, R., Coyle, M., Carson, J.M., et Kiss, F.

L'acquisition, la compilation des données ainsi que la production des cartes furent effectuées par Sander Geophysics Limited, Ottawa, Ontario.
La gestion et la supervision du projet furent effectuées par la Commission géologique du Canada, Ottawa, Ontario.



Location Map - Carte de Localisation

A gamma-ray spectrometer and aeromagnetic airborne survey of the Great Island and Seal River area, Manitoba, was completed by Sander Geophysics Limited. The survey was flown from September 15th to October 28th, 2008 using a Cessna 208B Grand Caravan (C-GSGL). The control traverse and control line were flown in a north-south direction. The survey traverses were oriented in a north-south direction. Traverse lines were oriented 180° with orthogonal control lines. The flight path was recovered following post-flight differential correction of data recorded by the Global Positioning System. The survey was flown on a pre-determined flight surface to minimize differences in magnetic values at the intersections of control and traverse lines.

Gamma-ray spectrometry data

The airborne gamma-ray measurements were made with an Exploranium GR-820 gamma-ray spectrometer using fourteen 102 x 102 mm NaI (Tl) crystals. The main detector array consisted of twelve crystals (total volume 50.4 litres), shielded by the main array, were used to detect variations in magnetic values at the intersections of control and traverse lines. Two smaller crystals (total volume 8.4 litres), unshielded by the main array, were used to measure potassium, uranium and thorium are, respectively, 1370 - 1570 keV, 1660 - 1860 keV, and 2410 - 2810 keV.

Potassium is measured directly from the 1460 keV gamma-ray photons emitted by K^+ , whereas uranium and thorium are measured indirectly from gamma-ray photons emitted by daughter products ^{226}Ra for uranium and ^{228}Th for thorium. Although these daughter isotopes far down their respective decay chains, they are assumed to be in equilibrium with their parent isotopes. Potassium has a half-life of 1.23 years, while the half-lives of uranium and thorium are 4.46 and 14.01 years, respectively. The energy windows used to measure potassium, uranium and thorium are, respectively, 1370 - 1570 keV, 1660 - 1860 keV, and 2410 - 2810 keV.

The energy windows used to measure potassium, uranium and thorium are, respectively, 1370 - 1570 keV, 1660 - 1860 keV, and 2410 - 2810 keV. The energy windows used to measure potassium, uranium and thorium are, respectively, 1370 - 1570 keV, 1660 - 1860 keV, and 2410 - 2810 keV.

Magnetic Data

The magnetic field was sampled 10 times per second using a split-beam cesium vapour magnetometer (sensitivity = 0.005 nT) rigidly mounted to the aircraft. Differences in magnetic values at the intersections of control and traverse lines were determined by the difference in the mean value of the magnetic field over the 10 samples taken at each location. The levelled values were then corrected for the effect of the aircraft's magnetic field and the effect of the Earth's magnetic field.

Gamma-ray spectra were recorded at one-second intervals. Data processing followed standard procedures as described in IAEA, 1991 and IAEA, 2003. Noise due to single-photon statistics was removed by applying a windowed moving average filter to the spectra. The spectra were then calibrated by matching the recorded spectra with several natural gamma-ray peaks.

Gamma-ray spectra were recorded at one-second intervals. Data processing followed standard procedures as described in IAEA, 1991 and IAEA, 2003. Noise due to single-photon statistics was removed by applying a windowed moving average filter to the spectra. The spectra were then calibrated by matching the recorded spectra with several natural gamma-ray peaks.

Corrected data were filtered and interpolated to a 10m grid interval. The results of an airborne gamma-ray spectrometer survey represent the average surface concentration of gamma-ray emitting elements over a 10m x 10m area. The average surface concentration of gamma-ray emitting elements over a 10m x 10m area is not necessarily equal to the actual bedrock concentrations. The total air dose absorbed in milligrays per hour was produced from counts between 400 and 2000 cps.

Topographic Data

The topographic data was collected from the NTS 1:50 000 scale topographic map. The data consists of contour lines and spot elevations. The contour lines are levelled and the spot elevations are unlevelled. The contour lines are levelled to a 10m grid interval. The spot elevations are levelled to a 10m grid interval.

The first vertical derivative of the magnetic field is the rate of change of the magnetic field in the vertical direction. Computation of the first vertical derivative removes long-wavelength features of the magnetic field and significantly improves the resolution of closely spaced and superposed anomalies. A property of first vertical derivative maps is the coincidence of the zero-value contour with vertical contacts at high magnetic latitudes (Hood, 1965).

Données de spectrométrie gamma

Les mesures du rayonnement gamma ont été effectuées à l'aide d'un spectromètre gamma Exploranium GR-820 utilisant quatorze cristaux de NaI (Tl) de 102 x 102 mm. Le principal réseau de capteurs se compose de douze cristaux (volume total de 50,4 litres), protégés par le réseau principal. Deux petits cristaux (volume total de 8,4 litres) non protégés par le réseau principal sont utilisés pour mesurer le potassium, l'uranium et le thorium.

Le potassium est mesuré directement par les photons gamma de 1460 keV émis par K^+ , tandis que l'uranium et le thorium sont mesurés indirectement par les photons gamma émis par les produits de fission (^{226}Ra pour l'uranium et ^{228}Th pour le thorium). Bien que ces radionucléides de fission se trouvent loin dans leur chaîne respective de désintégration, on presume qu'ils sont en équilibre avec les radionucléides mère; ainsi, les mesures spectrométriques du rayonnement gamma de l'uranium et de thorium sont effectuées avec une résolution de 10 minutes, alors que celles du potassium sont effectuées avec une résolution de 10 secondes. Les coups obtenus à l'aide des capteurs de radionucléides sont ensuite analysés par ordinateur afin d'obtenir des corrections pour les dérivées premières des radionucléides de fission de l'uranium et du thorium.

Le spectre du rayonnement gamma ont été enregistrés à des intervalles d'une seconde. Le traitement des données a suivi les procédures standards décrites dans IAEA, 1991 et IAEA, 2003. La statistique de photon unique est éliminée par un filtre à fenêtre. Les spectres sont ensuite ajustés aux spectres enregistrés avec des cristaux de NaI (Tl) de 256 pixels en respectant une distribution de Poisson. La calibration des spectres est réalisée en ajustant les spectres enregistrés avec des spectres de cristaux de NaI (Tl) de 102 x 102 mm.

Le potassium est mesuré directement par les photons gamma de 1460 keV émis par K^+ , tandis que l'uranium et le thorium sont mesurés indirectement par les photons gamma émis par les produits de fission (^{226}Ra pour l'uranium et ^{228}Th pour le thorium). Bien que ces radionucléides de fission se trouvent loin dans leur chaîne respective de désintégration, on presume qu'ils sont en équilibre avec les radionucléides mère; ainsi, les mesures spectrométriques du rayonnement gamma de l'uranium et de thorium sont effectuées avec une résolution de 10 minutes, alors que celles du potassium sont effectuées avec une résolution de 10 secondes. Les coups obtenus à l'aide des capteurs de radionucléides sont ensuite analysés par ordinateur afin d'obtenir des corrections pour les dérivées premières des radionucléides de fission de l'uranium et du thorium.

Le spectre du rayonnement gamma ont été enregistrés à des intervalles d'une seconde. Le traitement des données a suivi les procédures standards décrites dans IAEA, 1991 et IAEA, 2003. La statistique de photon unique est éliminée par un filtre à fenêtre. Les spectres sont ensuite ajustés aux spectres enregistrés avec des cristaux de NaI (Tl) de 256 pixels en respectant une distribution de Poisson. La calibration des spectres est réalisée en ajustant les spectres enregistrés avec des spectres de cristaux de NaI (Tl) de 102 x 102 mm.

Données de spectrométrie gamma

Les mesures du rayonnement gamma ont été effectuées à l'aide d'un spectromètre gamma Exploranium GR-820 utilisant quatorze cristaux de NaI (Tl) de 102 x 102 mm. Le principal réseau de capteurs se compose de douze cristaux (volume total de 50,4 litres), protégés par le réseau principal. Deux petits cristaux (volume total de 8,4 litres) non protégés par le réseau principal sont utilisés pour mesurer le potassium, l'uranium et le thorium.

Le potassium est mesuré directement par les photons gamma de 1460 keV émis par K^+ , tandis que l'uranium et le thorium sont mesurés indirectement par les photons gamma émis par les produits de fission (^{226}Ra pour l'uranium et ^{228}Th pour le thorium). Bien que ces radionucléides de fission se trouvent loin dans leur chaîne respective de désintégration, on presume qu'ils sont en équilibre avec les radionucléides mère; ainsi, les mesures spectrométriques du rayonnement gamma de l'uranium et de thorium sont effectuées avec une résolution de 10 minutes, alors que celles du potassium sont effectuées avec une résolution de 10 secondes. Les coups obtenus à l'aide des capteurs de radionucléides sont ensuite analysés par ordinateur afin d'obtenir des corrections pour les dérivées premières des radionucléides de fission de l'uranium et du thorium.

Le spectre du rayonnement gamma ont été enregistrés à des intervalles d'une seconde. Le traitement des données a suivi les procédures standards décrites dans IAEA, 1991 et IAEA, 2003. La statistique de photon unique est éliminée par un filtre à fenêtre. Les spectres sont ensuite ajustés aux spectres enregistrés avec des cristaux de NaI (Tl) de 256 pixels en respectant une distribution de Poisson. La calibration des spectres est réalisée en ajustant les spectres enregistrés avec des spectres de cristaux de NaI (Tl) de 102 x 102 mm.

Données sur le champ magnétique

Le champ magnétique a été échantillonné 10 fois par seconde à l'aide d'un magnétomètre à vapeur de cézium partagé (sensibilité = 0,005 nT) rigidelement monté à l'avion. Les différences de valeur du champ magnétique aux intersections des lignes de contrôle et des lignes de levé ont été analysées par ordinateur afin d'obtenir un ensemble de données de champs magnétiques moyens pour chaque ligne de levé. Ces données sont ensuite utilisées pour calculer les dérivées premières verticales.

Le champ magnétique international de référence (IGRF) défini à l'altitude moyenne fourni par les données GPS pour l'ensemble du territoire canadien a été appliqué pour corriger les données de champ magnétique moyens pour l'ensemble du territoire canadien.

La dérivée première verticale du champ magnétique représente le taux auquel varie le champ magnétique suivant la verticale. Le calcul de la dérivée première verticale suppose que les composantes de gradiomagnétisme et de champ magnétique et aimantation sont constantes et que les variations de la densité de fer sont négligeables. Un filtre passe-bas est appliqué à la dérivée première verticale pour éliminer les courtes périodes de variation.

La dérivée première verticale du champ magnétique représente le taux auquel varie le champ magnétique suivant la verticale. Le calcul de la dérivée première verticale suppose que les composantes de gradiomagnétisme et de champ magnétique et aimantation sont constantes et que les variations de la densité de fer sont négligeables. Un filtre passe-bas est appliqué à la dérivée première verticale pour éliminer les courtes périodes de variation.

References/Références

Hood, P.J. 1965. Gradient measurements in aeromagnetic surveying. Geophysics, 30, 891-902.

International Atomic Energy Agency, 1991. Airborne gamma ray spectrometry survey. Technical Reports Series 323, IAEA, Vienna.

International Atomic Energy Agency, 2003. Guidelines for radiometric mapping using gamma ray spectrometry data. Technical Reports Series 1363, IAEA, Vienna.

PLANIMETRIC SYMBOLS / SYMBOLES PLANIMÉTRIQUES

Topographic contour	Courbes de niveau
Drainage	Terrain drainé
Wetland	Bâtiement
Building	Bâtiment
Cut Line	Coupe
Road	Route
Trail	Chemin
Flight Line	Sentier
	Ligne de vol

ISOMAGNETIC LINES / LIGNES ISOMAGNÉTIQUES

250 nT	250 nT
50 nT	50 nT
10 nT	10 nT
Magnetic Depression	Dépression magnétique

MAP SHEET SUMMARY / SOMMAIRE DES FEUILLES

GSC/MGS Sheet / Feuille C-GSC/LGM

MAP / CARTE

1. Natural Air Absorbed Dose Rate
Taux d'absorption naturel des rayons dans l'air
2. Potassium
3. Uranium
4. Thorium
5. Uranium / Thorium
6. Uranium / Potassium
7. Thorium / Potassium
8. Terrain / Radiometric Map
Diagramme de terrain des radiomagnétismes
9. Residual Total Magnetic Field
Composante résiduelle du champ magnétique total
10. First Vertical Derivative of the Magnetic Field
Dérivée première verticale du champ magnétique

